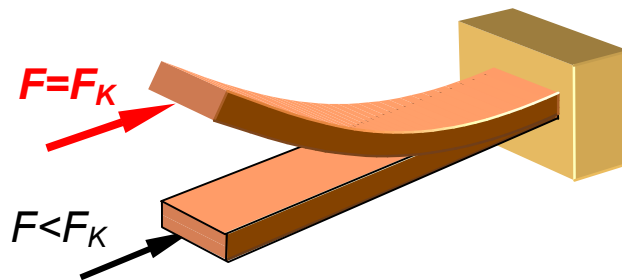


Großübung Stabilität, elastische Knickung, Eulerfälle

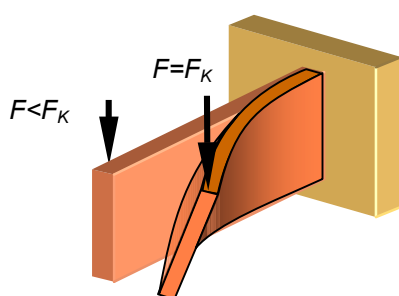
Ein druckbeanspruchter gerader Stab kann seine Funktion (Gleichgewicht mit gerader Stabachse) verlieren, auch wenn die im Stab vorhandene Druckspannung σ_d noch wesentlich kleiner als die zulässige Druckspannung ist, d. h. wenn gilt

$$\sigma_d < \sigma_{d_{zul}}$$

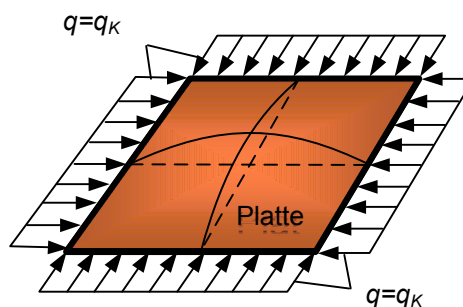
Der Stab verliert seine Funktion, indem er bei einer bestimmten **kritischen Kraft** $F = F_K$ plötzlich instabil wird und eine neue Gleichgewichtslage mit gekrümmter Stabachse annimmt. Dieser Vorgang wird **Knicken** eines Stabes oder kurz **Stabknickung** genannt.



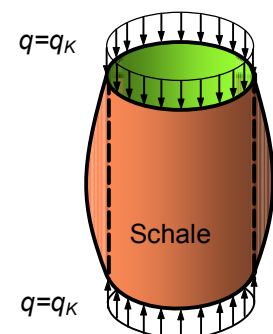
Solche Instabilitäten treten auch bei anderen Tragwerken unter Druckbelastungen auf und sind sehr gefährlich! Einige Beispiele sind hier zusammengestellt. (Kippen, Beulen, Drill-, Biegedrillknicken)



Kippen eines Brettartigen Balkens

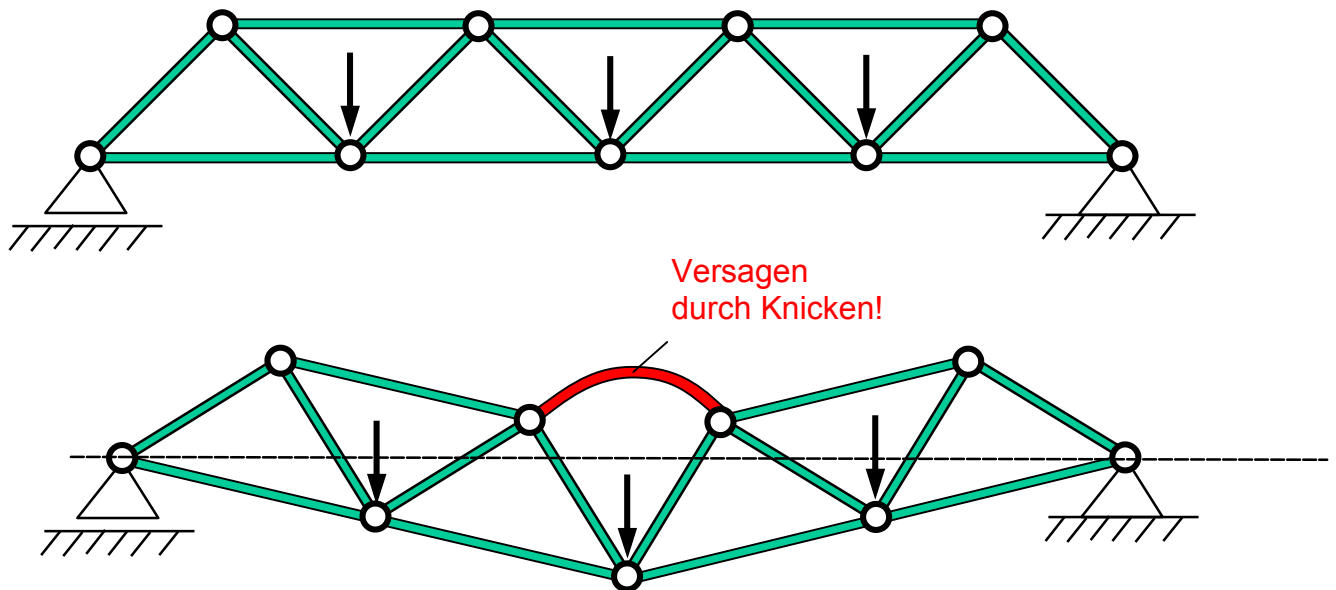


Beulen von Flächentragwerken (Platte, Schale)



Die Stabilität von komplexen Bauwerke, z. B. von Brücken, Kränen, Dachkonstruktionen usw. aus Fachwerkstäben, ist durch eine ausreichende Sicherheit gegen Knicken der auf Druck belasteten Stäbe zu gewährleisten.

Das Versagen (Knicken) eines Druckstabes kann zum Versagen der gesamten Konstruktion führen.

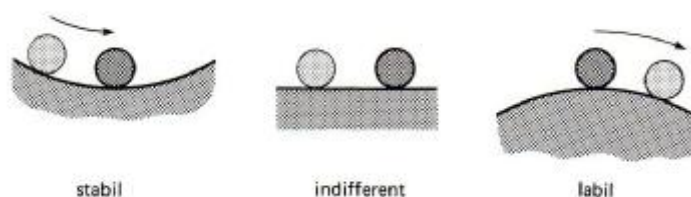


Die große Bedeutung der Stabilität wird dadurch unterstrichen, dass der Nachweis der Stabilität für viele Bereiche der Technik durch Normen und Vorschriften verbindlich geregelt ist!

Zur Untersuchung von Stabilitätsproblemen ist das Aufstellen der Gleichgewichtsbedingungen am deformierten System erforderlich, wobei die Deformationen noch als klein angenommen werden dürfen (**Theorie 2. Ordnung**).

Folgende Gleichgewichtslagen werden unterschieden.

- stabiles Gleichgewicht: das Objekt kehrt nach einer kleinen Auslenkung in seine Ausgangslage zurück
- labiles Gleichgewicht: das Objekt kehrt nach einer kleinen Auslenkung nicht in seine Ausgangslage zurück, sondern nimmt eine neue stabile Lage ein
- indifferentes Gleichgewicht: jede Lage ist eine Gleichgewichtslage

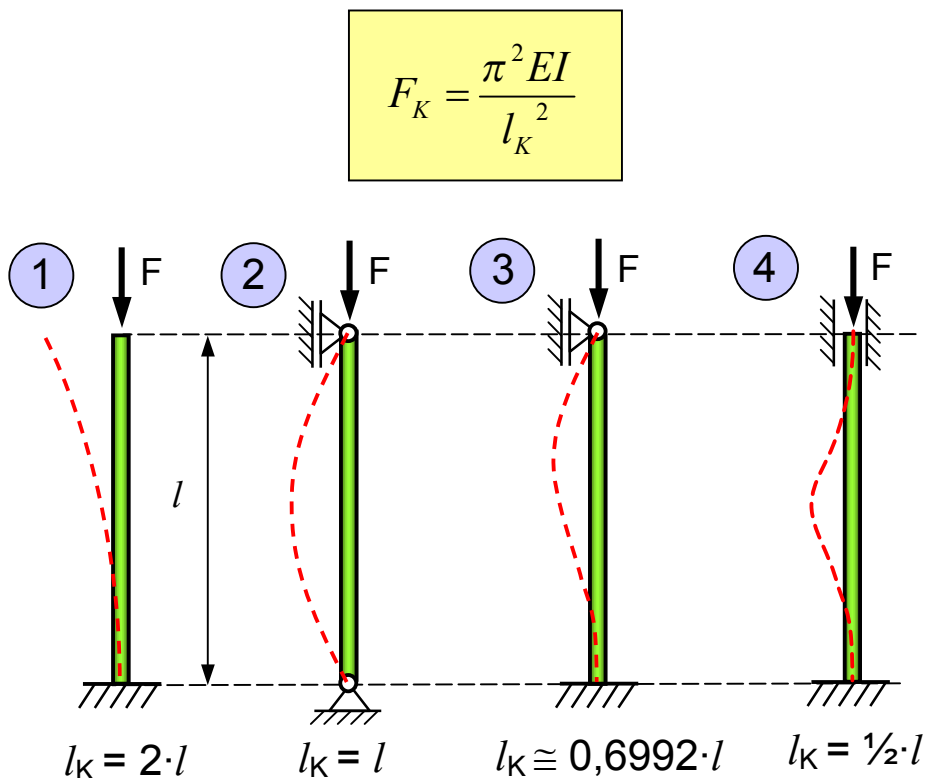


Im weiteren wollen wir uns auf die Eulerfälle und elastisches Knicken beschränken.

Die Eulerfälle

Typische Stabilitätsprobleme stellen auf Druck belastete Stäbe dar. Es wird ermittelt, wann ein gerader Stab unter einer in Richtung der Stabachse des unverformten Bauteils wirkenden richtungstreuen Kraft versagt. Die hierbei mögliche maximale Belastung ist die kritische Last die zum Versagen der Konstruktion führt, wobei die maximal zulässige Druckspannung für das Bauteil dabei nicht erreicht werden muss.

Für die folgenden vier typischen Lagerungsfälle gilt mit $EI = konst.$



Knicklängen l_K für die vier EULER-Fälle mit Biegelinie für die kritische Kraft

In Abhängigkeit von den Lagerungen und den Flächenträgheitsmomenten bezüglich der Biegeachsen müssen für einen Knickstab möglicherweise mehrere Stabilitätsuntersuchungen angestellt werden.

Spannungsberechnung

Für Druckstäbe ist neben dem Knicken (schlanke Stäbe) noch das Versagen durch Quetschen (gedrungene Stäbe) möglich.

Folgende Größen werden definiert:

Trägheitsradius $i = \sqrt{\frac{I}{A}}$ (i_y, i_z)

Schlankheitsgrad $S = \frac{l_K}{i} = \lambda$ (S_y, S_z), in der Literatur meist mit λ bezeichnet

Die kritische (Knick)spannung berechnet sich zu

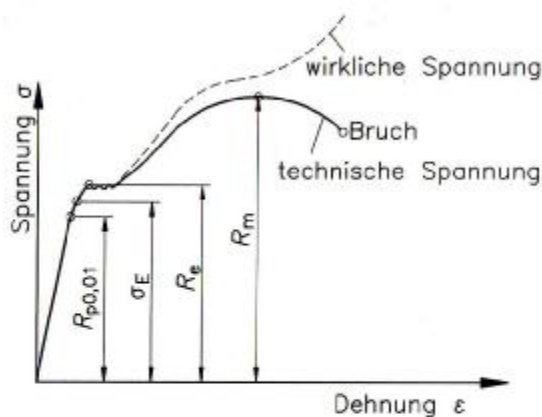
$$\sigma_K = \frac{F_K}{A} = \frac{\pi^2 EI}{l_K^2 A} = \pi^2 E \frac{i^2}{l_K^2} = \frac{\pi^2 E}{\lambda^2}$$

$$\sigma_K < \sigma_{d_{zul}}$$

Die **Eulerhyperbel** gilt bis zur Druck-Proportionalitätsgrenze σ_{dP} .

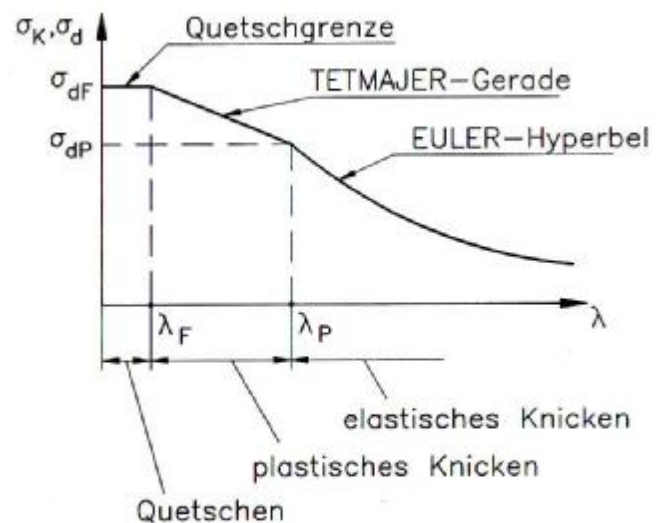
Der zugehörige Schlankheitsgrad $\lambda_p = \pi \sqrt{\frac{E}{\sigma_{dP}}}$ ist ein Materialparameter.

- für
- $\lambda > \lambda_p$ elastisches Knicken (Euler - Hyperbel)
 - $\lambda < \lambda_p$ plastisches Knicken (Tetmayer - Gerade, Näherung)
 - $\lambda < \lambda_F$ Quetschen



$R_{p0,01}$: 0,01%-Dehngrenze
 σ_E : Elastizitätsgrenze
 R_e : Streckgrenze
 R_m : Zugfestigkeit

Spannungs-Dehnungs-Diagramm von S235



$$\lambda_F = \frac{a - \sigma_{dF}}{b} \quad \lambda_P = \pi \sqrt{\frac{E}{\sigma_{dP}}}$$

Hinweis: $\sigma_p = R_p$; $\sigma_F = R_e$; $\sigma_B = R_m$

Tetmayer-Gerade

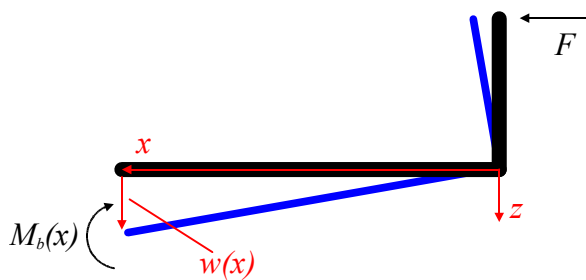
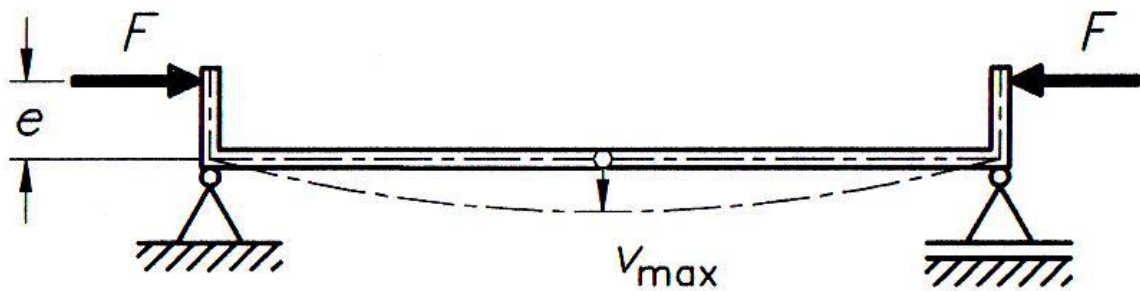
Im Bereich $\lambda_F < \lambda < \lambda_P$ gilt für die Berechnung der Knickspannung näherungsweise die Tetmayer-Gerade. Die Entscheidung, ob elastisches oder plastisches Knicken vorliegt, hängt vom vorhandenen Schlankheitsgrad ab.

$$\sigma_K = a - b \lambda$$

a, b sind Werkstoffkonstanten

| Werkstoff | E [N/mm ²] | λ_P | a [N/mm ²] | b [N/mm ²] |
|-------------|--------------------------|-------------|---|--------------------------|
| S235 (St37) | 210000 | 104 | 310,0 | 1,140 |
| E295 (St50) | 210000 | 89 | 335,0 | 0,620 |
| E335 (St60) | | | | |
| 5%-Ni-Stahl | 210000 | 86 | 470,0 | 2,300 |
| Nadelholz | 10000 | 100 | 29,3 | 0,194 |
| Grauguß | 100000 | 80 | $\sigma_K = 776 - 12 \lambda + 0,053 \lambda^2$ | |

Beispiel: Stab der Länge l mit Exzentrizität e



Annahme:
 $e \ll$ Stablänge l

Gleichgewicht am verformten Bauteil

$$M_b(x) = F(e + w(x))$$

Differentialgleichung der Biegelinie

$$-M_b = EI w''(x)$$

$$EI w''(x) + F(e + w(x)) = 0$$

$$w''(x) + \frac{F}{EI} w(x) = \frac{-F}{EI} e$$

Abkürzung: $\frac{F}{EI} = \kappa^2$

inhomogene gewöhnliche lineare Differentialgleichung 2. Ordnung für $w(x)$

$$w''(x) + \kappa^2 w(x) = -\kappa^2 e$$

homogene Lösung

$$w = C_1 \cos(\kappa x) + C_2 \sin(\kappa x)$$

$$w' = -C_1 \kappa \sin(\kappa x) + C_2 \kappa \cos(\kappa x)$$

$$w'' = -C_1 \kappa^2 \cos(\kappa x) - C_2 \kappa^2 \sin(\kappa x)$$

partikuläre Lösung, Störgliedansatz entsprechend der rechten Seite

$$w_p = C_3$$

$$w'_p = 0$$

$$w''_p = 0$$

einsetzen liefert $C_3 = -e$

$$\text{Gesamtlösung} \quad w = C_1 \cos(\kappa x) + C_2 \sin(\kappa x) + C_3$$

$$\begin{array}{l} \text{Randbedingungen} \quad w(x=0) = 0 \quad 0 = C_1 + C_3 \\ \quad \quad \quad \quad \quad \quad \quad w'(x=l) = 0 \quad 0 = C_1 \cos(\kappa l) + C_2 \sin(\kappa l) + C_3 \end{array}$$

$$\begin{array}{l} \text{Es ergeben sich:} \\ C_1 = -C_3 = e \\ C_2 = e \frac{-\cos(\kappa l) + 1}{\sin(\kappa l)} \end{array}$$

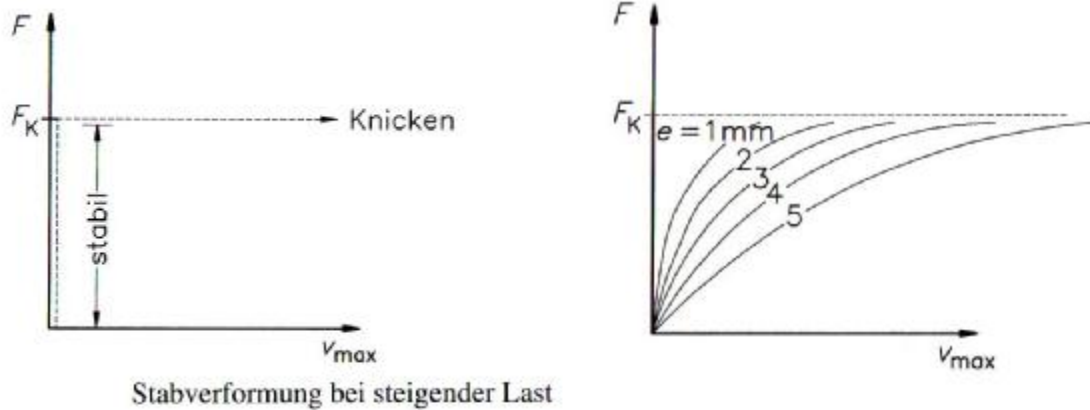
$$\text{Verschiebungsfunktion} \quad w(x) = e \left(\cos(\kappa x) + \frac{-\cos(\kappa l) + 1}{\sin(\kappa l)} \sin(\kappa x) - 1 \right)$$

Der „klassische“ **Euler-Fall 2** liegt vor für $e = 0$. Dann ist die DGL homogen, $C_3 = 0$. Es folgt $C_1 = 0$ und $C_2 \sin(\kappa l) = 0$. Das heißt, es ist entweder $C_2 = 0$ oder $\sin(\kappa l) = 0$.

Hieraus ergibt sich $\kappa l = n\pi$

$$\text{Mit der oben eingeführten Abkürzung ist dann} \quad F_K = \frac{\pi^2 n^2}{l^2} EI$$

Das Versagen tritt bei der kleinsten kritischen Last auf, also bei $n = 1$. Für jede vorhandene Exzentrizität tritt die Verformung sofort auf (Bild links $e = 0$, rechts $e \neq 0$).



Mit der selben Vorgehensweise können andere Knickfälle berechnet werden.

In Anlehnung an die Formel $F_K = \frac{\pi^2}{l^2} EI$ für der Euler-Fall 2 werden die Knicklasten durch

$$F_K = \frac{\pi^2}{l_K^2} EI$$

beschrieben (siehe oben).

Der Euler-Fall 2 wird oft als „Grundfall“ mit der Knicklänge $l_K = l$ bezeichnet. Die Knicklänge entspricht einer „Verformungshalbwelle“ (halbe Sinuswelle).

weitere Beispiele

Welche zulässige Druckkraft kann ein Winkelstahl 60 x 10 aus S235 (St37) bei einer Länge von 1,4 m übertragen, wenn eine Knicksicherheit von $s_K=4$ gefordert wird? Die Berechnung soll für den Euler-Fall 2 (Grundfall) erfolgen.

Bestimmung des Schlankheitsgrades um festzustellen, ob die Euler-Fälle anwendbar sind.

$$\lambda = \frac{l_K}{i} \quad l_K = l$$

aus der Tabelle für L-Profil $i_{min} = 1,15 \text{ cm}$

$$\text{Damit ist } \lambda = \frac{l_K}{i} = \frac{140 \text{ cm}}{1,15 \text{ cm}} = 122 > 104 \quad \text{Werkstoff S235 (St37) } \lambda_p = 104$$

Es handelt sich um elastisches Knicken, Eulerfälle sind anwendbar.

$$F_{d \text{ zul}} = \frac{\pi^2 EI}{s_K l^2} \quad \text{mit } I = I_{min} = I_\zeta = 14,6 \text{ cm}^4 \quad \text{aus Tabelle für L-Profil (DIN 1028)}$$

$$F_{d \text{ zul}} = \frac{\pi^2 \cdot 2,1 \cdot 10^7 \frac{\text{N}}{\text{cm}^2} \cdot 14,6 \text{ cm}^4}{4 \cdot 140^2 \text{ cm}^2} = 38,6 \cdot 10^3 \text{ N}$$

Die zulässige Druckkraft beträgt 38,6 kN.

Kann ein einseitig eingespanntes Rohr (Länge = 150 cm) mit einem Innendurchmesser vom 100 mm und einer Wandstärke von 10 mm eine Druckkraft von 150 kN aufnehmen, wenn eine Knicksicherheit von 5 gefordert wird? Als Werkstoff wird S235 verwendet.

Bestimmung des Schlankheitsgrades um festzustellen, ob die Euler-Fälle anwendbar sind.

$$\lambda = \frac{l_K}{i} \quad l_K = 2l$$

Trägheitsmoment, Querschnittsfläche, Trägheitsradius, Schlankheitsgrad

$$A = \frac{\pi}{4} (D^2 - d^2) = \frac{\pi}{4} (12^2 - 10^2) \text{ cm}^2 = 34,56 \text{ cm}^2$$

$$I = \frac{\pi}{64} (D^4 - d^4) = \frac{\pi}{64} (12^4 - 10^4) \text{ cm}^4 = 527 \text{ cm}^4$$

$$i = \sqrt{\frac{I}{A}} = 3,91 \text{ cm}$$

$$\lambda = \frac{l_K}{i} = \frac{2l}{i} = \frac{2 \cdot 150}{3,91} = 76,8$$

Der berechnete Schlankheitsgrad liegt im Bereich $60 < \lambda < 104$ (Bereich, in dem für S235 die Tetmajer-Gerade gilt). Es handelt sich um plastisches Knicken. Mit den Werkstoffkonstanten gemäß Tabelle gilt:

$$\sigma_K = (a - b \cdot \lambda) = (310 - 1,14 \cdot 76,8) \frac{N}{mm^2} = 222 \frac{N}{mm^2}$$

Die zur Zerstörung führende Druckkraft ist

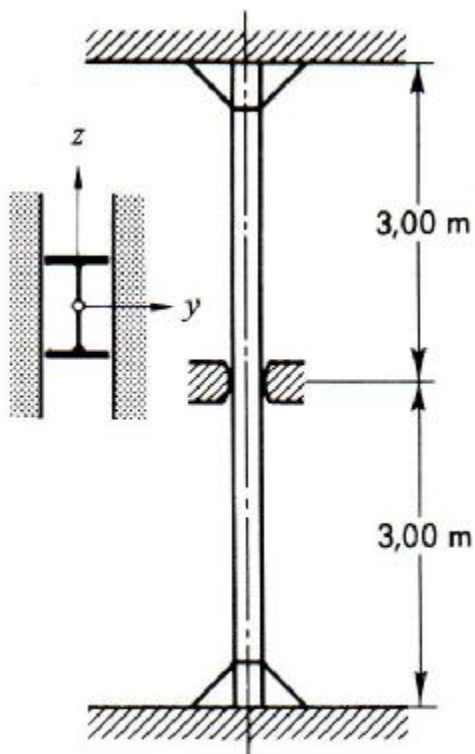
$$F_K = \sigma_K \cdot A = 222 \frac{N}{mm^2} \cdot 3456 \text{ mm}^2 = 768,7 \text{ kN}$$

$$F_{d\text{zul}} = \frac{F_K}{s_K} = \frac{768,7 \text{ kN}}{5} = 153 \text{ kN} > 150 \text{ kN}$$

Die vorgesehene Belastung ist möglich.

Ein Doppel-T Träger wird gemäß Skizze als Säule verwendet. Anschläge verhindern in der Mitte das Ausknicken in y-Richtung, jedoch nicht in z-Richtung. Die Knotenbleche oben und unten sollen wie eine Einspannung für die y-Richtung wirken. In z-Richtung seien an den Stabenden Winkeländerungen möglich, deshalb soll hier der Eulerfall 2 der Berechnung zugrunde gelegt werden.

Es ist zu prüfen, ob eine Belastung von 12 kN bei einer Sicherheit von 4 möglich ist. Als Werkstoff wird S235 verwendet.



Daten für Doppel-T 100 nach DIN 1025

$$A = 10,6 \text{ cm}^2$$

$$i_y = 4,01 \text{ cm}$$

$$i_z = 1,07 \text{ cm}$$

Das Ausknicken ist in zwei Richtungen möglich. Beide Fälle werden untersucht und müssen die notwendige Sicherheit gegen Knickung haben. Die kritischen Knicklängen ergeben sich aus den Lagerungen der Säule.

$$l = 300 \text{ cm}$$

$$E = 210000 \frac{N}{mm^2}$$

Knicken in y-Richtung (Biegung um z-Achse)

Euler-Fall 3 für die halbe Säule (eingespannt – gelenkig)

$$\lambda = \frac{l_{Kz}}{i_z} \approx \frac{0,7 \cdot l}{i_z} = \frac{0,7 \cdot 300 \text{ cm}}{1,07 \text{ cm}} = 196,3 > \lambda_p$$

also elastisches Knicken, mit $\lambda = \frac{l_K}{i}$ und $i = \sqrt{\frac{I}{A}}$ folgt

$$F_K = \frac{\pi^2 EI}{l_K^2} = \frac{\pi^2 EA}{\lambda^2} = \frac{\pi^2 \cdot 210000 \frac{\text{N}}{\text{mm}^2} \cdot 1060 \text{ mm}^2}{196,3^2} = 57,014 \text{ kN}$$

$$\text{Knicksicherheit } s_K = \frac{F_{K \text{ vorh}}}{F_{K \text{ zul}}} = \frac{57,014 \text{ kN}}{12 \text{ kN}} = 4,75$$

Knicken in z-Richtung (Biegung um y-Achse)

Euler-Fall 2 (Grundfall) für die ganze Säule (gelenkig – gelenkig)

$$\lambda = \frac{l_{Ky}}{i_y} = \frac{l}{i_y} = \frac{600 \text{ cm}}{4,01 \text{ cm}} = 149,6 > \lambda_p$$

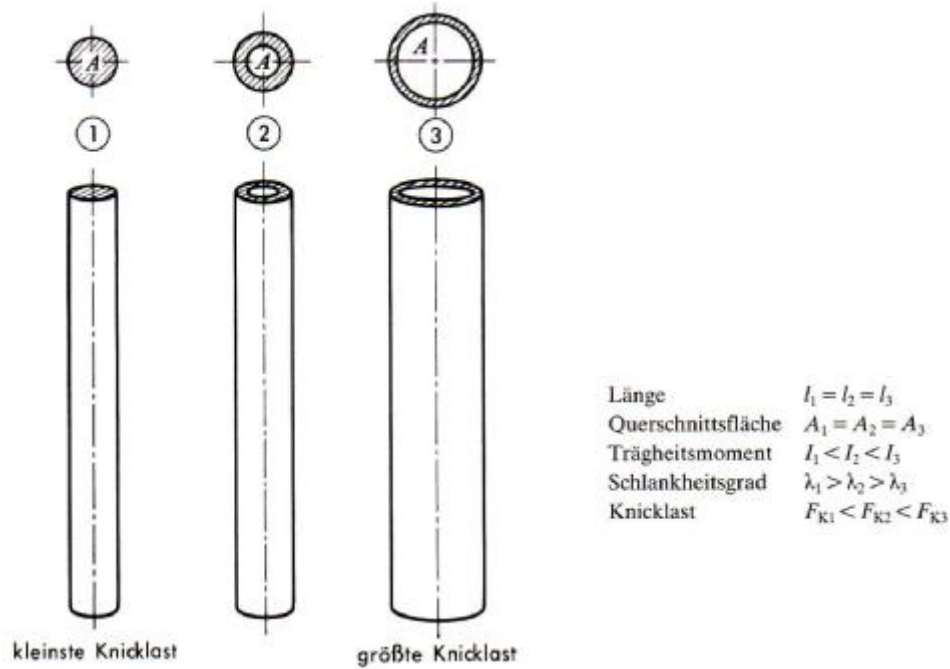
also ebenfalls elastisches Knicken

$$F_K = \frac{\pi^2 EI}{l_K^2} = \frac{\pi^2 EA}{\lambda^2} = \frac{\pi^2 \cdot 210000 \frac{\text{N}}{\text{mm}^2} \cdot 1060 \text{ mm}^2}{149,6^2} = 98,166 \text{ kN}$$

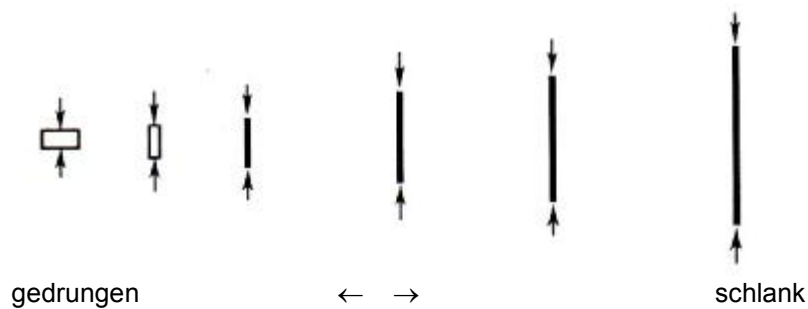
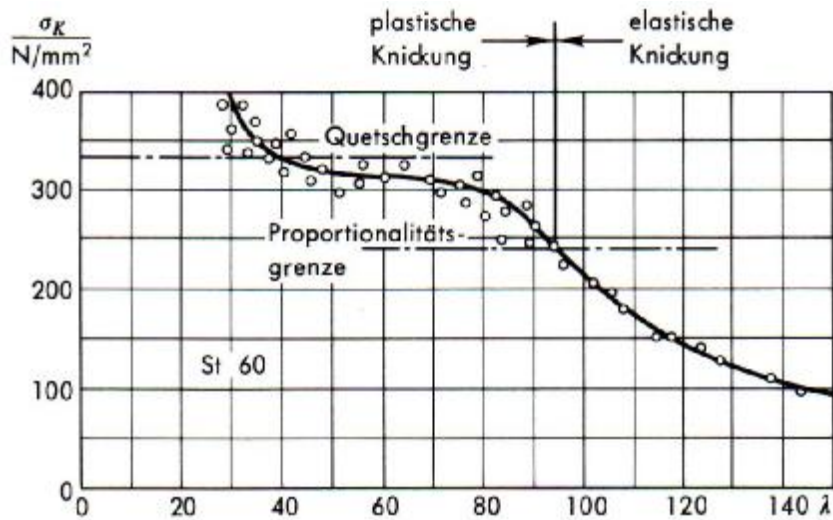
$$\text{Knicksicherheit } s_K = \frac{F_{K \text{ vorh}}}{F_{K \text{ zul}}} = \frac{98,166 \text{ kN}}{12 \text{ kN}} = 8,18$$

Die geforderte Knicksicherheit von 4 ist in beiden Fällen gegeben.

Anhang



Einfluss der Geometrie auf die kritische Last (gleiche Länge, gleiche Querschnittsfläche, gleiche Randbedingungen)



Knickspannung in Abhängigkeit vom Schlankheitsgrad für E335 (St60)

Querschnittswerte für warmgewalzte Normprofile aus Stahl

Auszug aus DIN 1025



| Kurzzeichen | Abmessungen in mm | | | | | | Querschnitt | Masse | Für die Biegeachse | | | | | | S_y cm ³ |
|-------------|-------------------|---|---|---|---|----------------|-------------|-------|--------------------|-------------------|--------|--------------------------------|--------------------------------|-------------------|-----------------------|
| | | | | | | | | | Y - Y | | | Z - Z | | | |
| | I | h | b | s | t | r ₁ | | | r ₂ | A cm ² | m kg/m | I _y cm ⁴ | W _y cm ³ | i _y cm | |

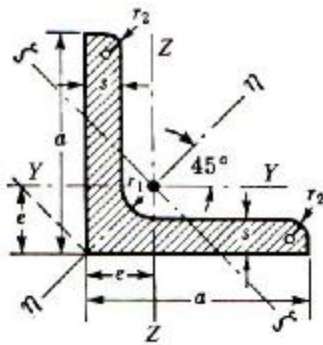
Schmale I-Träger (I-Reihe)

| | | | | | | | | | | | | | | | |
|-----|-----|-----|------|------|------|------|------|------|--------|------|------|------|------|------|------|
| 80 | 80 | 42 | 3,9 | 5,9 | 3,9 | 2,3 | 7,58 | 5,95 | 77,8 | 19,5 | 3,20 | 6,29 | 3,00 | 0,91 | 11,4 |
| 100 | 100 | 50 | 4,5 | 6,8 | 4,5 | 2,7 | 10,6 | 8,32 | 171 | 34,2 | 4,01 | 12,2 | 4,88 | 1,07 | 19,9 |
| 120 | 120 | 58 | 5,1 | 7,7 | 5,1 | 3,1 | 14,2 | 11,2 | 328 | 54,7 | 4,81 | 21,5 | 7,41 | 1,23 | 31,8 |
| 140 | 140 | 66 | 5,7 | 8,6 | 5,7 | 3,4 | 18,3 | 14,4 | 573 | 81,9 | 5,61 | 35,2 | 10,7 | 1,40 | 47,7 |
| 160 | 160 | 74 | 6,3 | 9,5 | 6,3 | 3,8 | 22,8 | 17,9 | 935 | 117 | 6,40 | 54,7 | 14,8 | 1,55 | 68,0 |
| 180 | 180 | 82 | 6,9 | 10,4 | 6,9 | 4,1 | 27,9 | 21,9 | 1450 | 161 | 7,20 | 81,3 | 19,8 | 1,71 | 93,4 |
| 200 | 200 | 90 | 7,5 | 11,3 | 7,5 | 4,5 | 33,5 | 26,3 | 2140 | 214 | 8,00 | 117 | 26,0 | 1,87 | 125 |
| 220 | 220 | 98 | 8,1 | 12,2 | 8,1 | 4,9 | 39,6 | 31,1 | 3060 | 278 | 8,80 | 162 | 33,1 | 2,02 | 162 |
| 240 | 240 | 106 | 8,7 | 13,1 | 8,7 | 0,2 | 46,1 | 36,2 | 4250 | 354 | 9,59 | 221 | 41,7 | 2,20 | 206 |
| 260 | 260 | 113 | 9,4 | 14,1 | 9,4 | 5,6 | 53,4 | 41,9 | 5740 | 442 | 10,4 | 288 | 51,0 | 2,32 | 257 |
| 280 | 280 | 119 | 10,1 | 15,2 | 10,1 | 6,1 | 61,1 | 48,0 | 7590 | 542 | 11,1 | 364 | 61,2 | 2,45 | 316 |
| 300 | 300 | 125 | 10,8 | 16,2 | 10,8 | 6,5 | 69,1 | 54,2 | 9800 | 653 | 11,9 | 451 | 72,2 | 2,56 | 381 |
| 320 | 320 | 131 | 11,5 | 17,3 | 11,5 | 6,9 | 77,8 | 61,0 | 12510 | 782 | 12,7 | 555 | 84,7 | 2,67 | 457 |
| 340 | 340 | 137 | 12,2 | 18,3 | 12,2 | 7,3 | 86,8 | 68,1 | 15700 | 923 | 13,5 | 674 | 98,4 | 2,80 | 540 |
| 360 | 360 | 143 | 13,0 | 19,5 | 13,0 | 7,8 | 97,1 | 76,2 | 19610 | 1090 | 14,2 | 818 | 114 | 2,90 | 638 |
| 380 | 380 | 149 | 13,7 | 20,5 | 13,7 | 8,2 | 107 | 84,0 | 24010 | 1260 | 15,0 | 975 | 131 | 3,02 | 741 |
| 400 | 400 | 155 | 14,4 | 21,6 | 14,4 | 8,6 | 118 | 92,6 | 29210 | 1460 | 15,7 | 1160 | 149 | 3,13 | 857 |
| 425 | 425 | 163 | 15,3 | 23,0 | 15,3 | 9,2 | 132 | 104 | 36970 | 1740 | 16,7 | 1440 | 176 | 3,30 | 1020 |
| 450 | 450 | 170 | 16,2 | 24,3 | 16,2 | 0,7 | 147 | 115 | 45860 | 2040 | 17,7 | 1730 | 203 | 3,43 | 1200 |
| 475 | 475 | 178 | 17,1 | 25,6 | 17,1 | 10,3 | 163 | 128 | 56480 | 2380 | 18,6 | 2090 | 235 | 3,60 | 1400 |
| 500 | 500 | 185 | 18,0 | 27,0 | 18,0 | 10,8 | 180 | 141 | 68740 | 2750 | 19,6 | 2480 | 268 | 3,72 | 1620 |
| 550 | 550 | 200 | 19,0 | 30,0 | 19,0 | 11,9 | 213 | 167 | 99180 | 3610 | 21,6 | 3490 | 349 | 4,02 | 2120 |
| 600 | 600 | 215 | 21,6 | 32,4 | 21,6 | 13,0 | 254 | 199 | 139000 | 4630 | 23,4 | 4670 | 434 | 4,30 | 2730 |

I-Breitflanschträger mit parallelen Flanschflächen (IPB-Reihe)

| | | | | | | | | | | | | | | | |
|-----|-----|-----|------|------|----|--|------|------|--------|------|------|-------|------|------|------|
| 100 | 100 | 100 | 6 | 10 | 12 | | 26,0 | 20,4 | 450 | 89,9 | 4,16 | 167 | 33,5 | 2,53 | 52,1 |
| 120 | 120 | 120 | 6,5 | 11 | 12 | | 34,0 | 26,7 | 864 | 144 | 5,04 | 318 | 52,9 | 3,06 | 82,6 |
| 140 | 140 | 140 | 7 | 12 | 12 | | 43,0 | 33,7 | 1510 | 216 | 5,93 | 550 | 78,5 | 3,58 | 123 |
| 160 | 160 | 160 | 8 | 13 | 15 | | 54,3 | 42,6 | 2490 | 311 | 6,78 | 889 | 111, | 4,05 | 177 |
| 180 | 180 | 180 | 8,5 | 14 | 15 | | 65,3 | 51,2 | 3830 | 426 | 7,66 | 1360 | 151 | 4,57 | 241 |
| 200 | 200 | 200 | 9 | 15 | 18 | | 78,1 | 61,3 | 5700 | 570 | 8,54 | 2000 | 200 | 5,07 | 321 |
| 220 | 220 | 220 | 9,5 | 16 | 18 | | 91,0 | 71,5 | 8090 | 736 | 9,43 | 2840 | 258 | 5,59 | 414 |
| 240 | 240 | 240 | 10 | 17 | 21 | | 106 | 83,2 | 11260 | 938 | 10,3 | 3920 | 327 | 6,08 | 527 |
| 260 | 260 | 260 | 10 | 17,5 | 24 | | 118 | 93,0 | 14920 | 1150 | 11,2 | 5130 | 395 | 6,58 | 641 |
| 280 | 280 | 280 | 10,5 | 18 | 24 | | 131 | 103 | 19270 | 1380 | 12,1 | 6590 | 471 | 7,09 | 767 |
| 300 | 300 | 300 | 11 | 19 | 27 | | 149 | 117 | 25170 | 1680 | 13,0 | 8560 | 571 | 7,58 | 934 |
| 320 | 320 | 320 | 11,5 | 20,5 | 27 | | 161 | 127 | 30820 | 1930 | 13,8 | 9240 | 616 | 7,57 | 1070 |
| 340 | 340 | 300 | 12 | 21,5 | 27 | | 161 | 134 | 36660 | 2160 | 14,6 | 9690 | 646 | 7,53 | 1200 |
| 360 | 360 | 300 | 12,5 | 22,5 | 27 | | 181 | 142 | 43190 | 2400 | 15,5 | 10140 | 676 | 7,49 | 1340 |
| 400 | 400 | 300 | 13,5 | 24 | 27 | | 198 | 155 | 57680 | 2880 | 17,1 | 10820 | 721 | 7,40 | 1620 |
| 450 | 450 | 300 | 14 | 26 | 27 | | 218 | 171 | 79890 | 3550 | 19,1 | 11720 | 781 | 7,33 | 1990 |
| 500 | 500 | 300 | 14,5 | 28 | 27 | | 239 | 187 | 107200 | 4290 | 21,2 | 12620 | 842 | 7,27 | 2410 |

Auszug aus DIN 1028



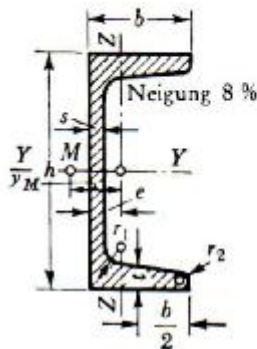
**Warmgewalzter
gleichschenkliger rundkantiger Winkelstahl**

I = Trägheitsmoment
 W = Widerstandsmoment
 $i = \sqrt{I/A}$ Trägheitshalbmesser
 $r_2 = r_1/2$ (auf halbe mm gerundet)

} bezogen auf die zugehörige Biegeachse

| Abmessungen in mm | | | Quer-schnitt A cm ² | Masse m kg/m | e cm | Für die Biegeachse | | | | | | | |
|-------------------|-----|-------|--|----------------------|-----------|--------------------------|--------------------------|-------------|-----------------------------|----------------|------------------------------|------------------------------|-----------------|
| a | s | r_1 | | | | Y-Y = Z-Z | | | $\eta - \eta$ | | $\zeta - \zeta$ | | |
| | | | | | | I_y cm ⁴ | W_y cm ³ | i_y cm | I_η cm ⁴ | i_η cm | I_ζ cm ⁴ | W_ζ cm ³ | i_ζ cm |
| 20 | 3 | 3,5 | 1,12 | 0,88 | 0,60 | 0,39 | 0,28 | 0,59 | 0,62 | 0,74 | 0,15 | 0,18 | 0,37 |
| | 4 | | 1,45 | 1,14 | 0,64 | 0,48 | 0,35 | 0,58 | 0,77 | 0,73 | 0,19 | 0,21 | 0,36 |
| 25 | 3 | 3,5 | 1,42 | 1,12 | 0,73 | 0,79 | 0,45 | 0,75 | 1,27 | 0,95 | 0,31 | 0,30 | 0,47 |
| | 4 | | 1,85 | 1,45 | 0,76 | 1,01 | 0,58 | 0,74 | 1,61 | 0,93 | 0,40 | 0,37 | 0,47 |
| | 5 | | 2,26 | 1,77 | 0,80 | 1,18 | 0,69 | 0,72 | 1,87 | 0,91 | 0,50 | 0,44 | 0,47 |
| 30 | 3 | 5 | 1,74 | 1,36 | 0,84 | 1,41 | 0,65 | 0,90 | 2,24 | 1,14 | 0,57 | 0,48 | 0,57 |
| | 4 | | 2,27 | 1,78 | 0,89 | 1,81 | 0,86 | 0,89 | 2,85 | 1,12 | 0,76 | 0,61 | 0,58 |
| | 5 | | 2,78 | 2,18 | 0,92 | 2,16 | 1,04 | 0,88 | 3,41 | 1,11 | 0,91 | 0,70 | 0,57 |
| 35 | 4 | 5 | 2,67 | 2,10 | 1,00 | 2,96 | 1,18 | 1,05 | 4,68 | 1,33 | 1,24 | 0,88 | 0,68 |
| | 5 | | 3,28 | 2,57 | 1,04 | 3,56 | 1,45 | 1,04 | 5,63 | 1,31 | 1,49 | 1,10 | 0,67 |
| | 6 | | 3,87 | 3,04 | 1,08 | 4,14 | 1,71 | 1,04 | 6,50 | 1,30 | 1,77 | 1,16 | 0,68 |
| 40 | 4 | 6 | 3,08 | 2,42 | 1,12 | 4,48 | 1,56 | 1,21 | 7,09 | 1,52 | 1,86 | 1,18 | 0,78 |
| | 5 | | 3,79 | 2,97 | 1,16 | 5,43 | 1,91 | 1,20 | 8,64 | 1,51 | 2,22 | 1,35 | 0,77 |
| | 6 | | 4,48 | 3,52 | 1,20 | 6,33 | 2,26 | 1,19 | 9,98 | 1,49 | 2,67 | 1,57 | 0,77 |
| 45 | 5 | 7 | 4,30 | 3,38 | 1,28 | 7,83 | 2,43 | 1,35 | 12,4 | 1,70 | 3,25 | 1,70 | 0,87 |
| | 7 | | 5,86 | 4,60 | 1,36 | 10,4 | 3,31 | 1,33 | 16,4 | 1,67 | 4,39 | 2,29 | 0,87 |
| 50 | 5 | 7 | 4,80 | 3,77 | 1,40 | 11,0 | 3,05 | 1,51 | 17,4 | 1,90 | 4,59 | 2,32 | 0,98 |
| | 6 | | 5,69 | 4,47 | 1,45 | 12,8 | 3,61 | 1,50 | 20,4 | 1,89 | 5,24 | 2,57 | 0,96 |
| | 7 | | 6,56 | 5,15 | 1,49 | 14,6 | 4,15 | 1,49 | 23,1 | 1,88 | 6,02 | 2,85 | 0,96 |
| 55 | 8 | 8 | 8,24 | 6,47 | 1,56 | 17,9 | 5,20 | 1,47 | 28,1 | 1,85 | 7,67 | 3,47 | 0,97 |
| | 6 | | 6,31 | 4,95 | 1,56 | 17,3 | 4,40 | 1,66 | 27,4 | 2,08 | 7,24 | 3,28 | 1,07 |
| | 8 | | 8,23 | 6,46 | 1,64 | 22,1 | 5,72 | 1,64 | 34,8 | 2,06 | 9,35 | 4,03 | 1,07 |
| 60 | 10 | 8 | 10,01 | 7,90 | 1,72 | 26,3 | 6,97 | 1,62 | 41,4 | 2,02 | 11,3 | 4,65 | 1,06 |
| | 6 | | 6,91 | 5,42 | 1,69 | 22,8 | 5,29 | 1,82 | 36,1 | 2,29 | 9,43 | 3,95 | 1,17 |
| | 8 | | 9,03 | 7,09 | 1,77 | 29,1 | 6,88 | 1,80 | 46,1 | 2,26 | 12,1 | 4,84 | 1,16 |
| 65 | 10 | 9 | 11,1 | 8,69 | 1,85 | 34,9 | 8,41 | 1,78 | 55,1 | 2,23 | 14,6 | 5,57 | 1,15 |
| | 7 | | 8,70 | 6,83 | 1,85 | 33,4 | 7,18 | 1,96 | 53,0 | 2,47 | 13,8 | 5,27 | 1,26 |
| | 9 | | 11,0 | 8,62 | 1,93 | 41,3 | 9,04 | 1,94 | 65,4 | 2,44 | 17,2 | 6,30 | 1,25 |
| 70 | 11 | 9 | 13,2 | 10,3 | 2,00 | 48,8 | 10,8 | 1,91 | 76,8 | 2,42 | 20,7 | 7,31 | 1,25 |
| | 7 | | 9,40 | 7,38 | 1,97 | 42,4 | 8,43 | 2,12 | 67,1 | 2,67 | 17,6 | 6,31 | 1,37 |
| | 9 | | 11,9 | 9,34 | 2,05 | 52,6 | 10,6 | 2,10 | 83,1 | 2,64 | 22,0 | 7,59 | 1,36 |
| 70 | 11 | 9 | 14,3 | 11,2 | 2,13 | 61,8 | 12,7 | 2,08 | 97,6 | 2,61 | 26,0 | 8,64 | 1,35 |

Warmgewalzter rundkantiger [-Stahl

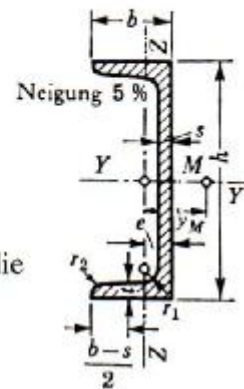


← Profil für $h \leq 300$ mm

Profil für → $h > 300$ mm

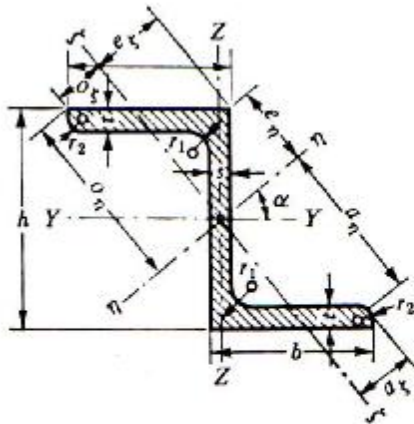
I = Trägheitsmoment
 W = Widerstandsmoment
 $i = \sqrt{I/A}$ Trägheitshalbmesser
 y_M = Abstand des Schubmittelpunktes M von der Z-Z-Achse

} bezogen auf die zugehörige Biegeachse



| Kurzzeichen [| Abmessungen in mm | | | | | | Querschnitt A cm ² | Masse m kg/m | e cm | y_M cm | Für die Biegeachse | | | | | |
|------------------|-------------------|-----|-------|------|-------|-------|---------------------------------------|----------------------|-----------|-------------|--------------------------|--------------------------|-------------|--------------------------|--------------------------|-------------|
| | h | b | s | t | r_1 | r_2 | | | | | Y-Y | | | Z-Z | | |
| | | | | | | | | | | | I_y cm ⁴ | W_y cm ³ | i_y cm | I_z cm ⁴ | W_z cm ³ | i_z cm |
| 30×15 | 30 | 15 | 4 | 4,5 | 4,5 | 2 | 2,21 | 1,74 | 0,52 | 0,74 | 2,53 | 1,69 | 1,07 | 0,38 | 0,39 | 0,42 |
| 30 | 30 | 33 | 5 | 7 | 7 | 3,5 | 5,44 | 4,27 | 1,31 | 2,22 | 6,39 | 4,26 | 1,08 | 5,33 | 2,68 | 0,99 |
| 40×20 | 40 | 20 | 5 | 5 | 5 | 2,5 | 3,51 | 2,75 | 0,65 | 0,98 | 7,26 | 3,63 | 1,44 | 1,06 | 0,78 | 0,55 |
| 40 | 40 | 35 | 5 | 7 | 7 | 3,5 | 6,21 | 4,87 | 1,33 | 2,32 | 14,1 | 7,05 | 1,50 | 6,68 | 3,08 | 1,04 |
| 50×25 | 50 | 25 | 6 | 6,5 | 6,5 | 3 | 5,50 | 4,32 | 0,82 | 1,26 | 18,0 | 7,18 | 1,81 | 2,94 | 1,75 | 0,73 |
| 50 | 50 | 38 | 5 | 5 | 7 | 3,5 | 7,12 | 5,59 | 1,37 | 2,47 | 26,4 | 10,6 | 1,92 | 9,12 | 3,75 | 1,13 |
| 60×30 | 60 | 30 | 6 | 6 | 6 | 3 | 6,46 | 5,07 | 0,91 | 1,50 | 31,6 | 10,5 | 2,21 | 4,51 | 2,16 | 0,84 |
| 65 | 65 | 42 | 5,5 | 7,5 | 7,5 | 4 | 9,03 | 7,09 | 1,42 | 2,60 | 57,5 | 17,7 | 2,52 | 14,1 | 5,07 | 1,25 |
| 80 | 80 | 45 | 6 | 8 | 8 | 4 | 11,0 | 8,64 | 1,45 | 2,67 | 106 | 26,5 | 3,10 | 19,4 | 6,36 | 1,33 |
| 100 | 100 | 50 | 6 | 8,5 | 8,5 | 4,5 | 13,5 | 10,6 | 1,55 | 2,93 | 206 | 41,2 | 3,91 | 29,3 | 8,49 | 1,47 |
| 120 | 120 | 55 | 7 | 9 | 9 | 4,5 | 17,0 | 13,4 | 1,60 | 3,03 | 364 | 60,7 | 4,62 | 43,3 | 11,1 | 1,59 |
| 140 | 140 | 60 | 7 | 10 | 10 | 5 | 20,4 | 16,0 | 1,75 | 3,37 | 605 | 86,4 | 5,45 | 62,7 | 14,8 | 1,75 |
| 160 | 160 | 65 | 7,5 | 10,5 | 10,5 | 5,5 | 24,0 | 18,8 | 1,84 | 3,56 | 925 | 116 | 6,21 | 85,3 | 18,3 | 1,89 |
| 180 | 180 | 70 | 8 | 11 | 11 | 5,5 | 28,0 | 22,0 | 1,92 | 3,75 | 1350 | 150 | 6,95 | 114 | 22,4 | 2,02 |
| 200 | 200 | 75 | 8,5 | 11,5 | 11,5 | 6 | 32,2 | 25,3 | 2,01 | 3,94 | 1910 | 191 | 7,70 | 148 | 27,0 | 2,14 |
| 220 | 220 | 80 | 9 | 12,5 | 12,5 | 6,5 | 37,4 | 29,4 | 2,14 | 4,20 | 2690 | 245 | 8,48 | 197 | 33,6 | 2,30 |
| 240 | 240 | 85 | 9,5 | 13 | 13 | 6,5 | 42,3 | 33,2 | 2,23 | 4,39 | 3600 | 300 | 9,22 | 248 | 39,6 | 2,42 |
| 260 | 260 | 90 | 10 | 17,5 | 14 | 7 | 48,3 | 37,9 | 2,36 | 4,66 | 4820 | 371 | 9,99 | 317 | 47,7 | 2,56 |
| 280 | 280 | 95 | 10 | 15 | 15 | 7,5 | 53,3 | 41,8 | 2,53 | 5,02 | 6280 | 448 | 10,9 | 399 | 57,2 | 2,74 |
| 300 | 300 | 100 | 10 | 16 | 16 | 8 | 58,8 | 46,2 | 2,70 | 5,41 | 8030 | 535 | 11,7 | 495 | 67,8 | 2,90 |
| 320 | 320 | 100 | 14 | 17,5 | 17,5 | 8,75 | 75,8 | 59,5 | 2,60 | 4,82 | 10870 | 679 | 12,1 | 597 | 80,6 | 2,81 |
| 350 | 350 | 100 | 14 | 16 | 16 | 8 | 77,3 | 60,6 | 2,40 | 4,45 | 12840 | 734 | 12,9 | 570 | 75,0 | 2,72 |
| 380 | 380 | 102 | 13,34 | 16 | 16 | 11,2 | 79,7 | 62,6 | 2,35 | 5,43 | 15730 | 826 | 14,1 | 613 | 78,4 | 2,78 |
| 400 | 400 | 110 | 14 | 18 | 18 | 9 | 91,5 | 71,8 | 2,65 | 5,11 | 20350 | 1020 | 14,9 | 846 | 102 | 3,04 |

Auszug aus DIN 1027



Warmgewalzter rundkantiger L-Stahl

I = Trägheitsmoment
 W = Widerstandsmoment
 $i = \sqrt{I/A}$ Trägheitshalbmesser

} bezogen auf die
 die zugehörige
 Biegeachse

| Kurzzeichen | Abmessungen in mm | | | | | | Querschnitt A cm ² | Masse m kg/m | Lage der Achse η - η $\text{tg } \alpha$ | Abstände in cm von den Achsen η - η und ζ - ζ | | | | | |
|-------------|-------------------|-----|-----|-----|-------|-------|---------------------------------------|----------------------|--|--|-----------|----------|-----------|----------|-----------|
| | h | b | s | i | r_1 | r_2 | | | | a_η | a_ζ | e_η | e_ζ | o_η | o_ζ |
| 30 | 30 | 38 | 4 | 4,5 | 4,5 | 2,5 | 4,32 | 3,39 | 1,655 | 3,86 | 9,58 | 0,61 | 1,39 | 3,54 | 0,87 |
| 40 | 40 | 40 | 4,5 | 5 | 5 | 2,5 | 5,43 | 4,26 | 1,181 | 4,17 | 0,91 | 1,12 | 1,67 | 3,82 | 1,19 |
| 50 | 50 | 43 | 5 | 5,5 | 5,5 | 3 | 6,77 | 5,31 | 0,939 | 4,60 | 1,24 | 1,65 | 1,89 | 4,21 | 1,49 |
| 60 | 60 | 45 | 5 | 6 | 6 | 3 | 7,91 | 6,21 | 0,779 | 4,98 | 1,51 | 2,21 | 2,04 | 4,56 | 1,76 |
| 80 | 80 | 50 | 6 | 7 | 7 | 3,5 | 11,1 | 8,71 | 0,588 | 5,83 | 2,02 | 3,30 | 2,29 | 5,35 | 2,25 |
| 100 | 100 | 55 | 6,5 | 8 | 8 | 4 | 14,5 | 11,4 | 0,492 | 6,77 | 2,43 | 4,34 | 2,50 | 6,24 | 2,65 |
| 120 | 120 | 60 | 7 | 9 | 9 | 4,5 | 18,2 | 14,3 | 0,433 | 7,75 | 2,80 | 5,37 | 2,70 | 7,16 | 3,02 |
| 140 | 140 | 65 | 8 | 10 | 10 | 5 | 22,9 | 18,0 | 0,385 | 9,72 | 3,18 | 6,39 | 2,89 | 8,08 | 3,39 |
| 160 | 160 | 70 | 8,5 | 11 | 11 | 5,5 | 27,5 | 21,6 | 0,357 | 9,74 | 3,51 | 7,39 | 3,09 | 9,04 | 3,72 |
| 180 | 180 | 75 | 9,5 | 12 | 12 | 6 | 33,3 | 26,1 | 0,329 | 10,7 | 3,86 | 8,40 | 3,27 | 9,99 | 4,08 |
| 200 | 200 | 80 | 10 | 13 | 13 | 6,5 | 38,7 | 30,4 | 0,313 | 11,8 | 4,17 | 9,39 | 3,47 | 11,0 | 4,39 |

| Kurzzeichen | Für die Biegeachse | | | | | | | | | | | | Zentrifugalmoment I_{yz} cm ⁴ |
|-------------|--------------------------|--------------------------|-------------|--------------------------|--------------------------|-------------|-----------------------------|-----------------------------|----------------|------------------------------|------------------------------|-----------------|--|
| | Y-Y | | | Z-Z | | | η - η | | | ζ - ζ | | | |
| L | I_y cm ⁴ | W_y cm ³ | i_y cm | I_z cm ⁴ | W_z cm ³ | i_z cm | I_η cm ⁴ | W_η cm ³ | i_η cm | I_ζ cm ⁴ | W_ζ cm ³ | i_ζ cm | |
| 30 | 5,96 | 3,97 | 1,17 | 13,7 | 3,80 | 1,78 | 18,1 | 4,69 | 2,04 | 1,54 | 1,11 | 0,60 | 7,35 |
| 40 | 13,5 | 6,75 | 1,58 | 17,6 | 4,66 | 1,80 | 28,0 | 6,72 | 2,27 | 3,05 | 1,83 | 0,75 | 12,2 |
| 50 | 26,3 | 10,5 | 1,97 | 23,8 | 5,88 | 1,88 | 44,9 | 9,76 | 2,57 | 5,23 | 2,76 | 0,88 | 19,6 |
| 60 | 44,7 | 14,9 | 2,38 | 30,1 | 7,09 | 1,95 | 67,2 | 13,5 | 2,81 | 7,60 | 3,73 | 0,98 | 28,8 |
| 80 | 109 | 27,3 | 3,13 | 47,4 | 10,1 | 2,07 | 142 | 24,4 | 3,58 | 14,7 | 6,44 | 1,15 | 55,6 |
| 100 | 222 | 44,4 | 3,91 | 72,5 | 14,0 | 2,24 | 270 | 39,8 | 4,31 | 24,6 | 9,26 | 1,30 | 97,2 |
| 120 | 402 | 67,0 | 4,70 | 106 | 18,8 | 2,42 | 470 | 60,6 | 5,08 | 37,7 | 12,5 | 1,44 | 158 |
| 140 | 676 | 96,6 | 5,43 | 148 | 24,3 | 2,54 | 768 | 88,0 | 5,79 | 56,4 | 16,6 | 1,67 | 239 |
| 160 | 1060 | 132 | 6,20 | 204 | 31,0 | 2,72 | 1180 | 121 | 6,57 | 79,5 | 21,4 | 1,70 | 349 |
| 180 | 1600 | 178 | 6,92 | 270 | 38,4 | 2,84 | 1760 | 164 | 7,26 | 110 | 27,0 | 1,82 | 490 |
| 200 | 2300 | 230 | 7,71 | 357 | 47,6 | 3,04 | 2510 | 213 | 8,06 | 147 | 33,4 | 1,95 | 674 |

I_{yz} -Werte sind für das eingezeichnete Koordinatensystem negativ. Werte und Vorzeichen dieser Tabelle entsprechen DIN 1027.

Auszug aus DIN EN 10055, DIN 1024

| T-Stahl, warmgewalzt, rundkantig nach DIN EN 10055: 1995-12 | | | | | | | | | | | | | | | | |
|---|-----|-----|-------------------------|----------------|----------------|-----|---|------|----------------|-----------------|-----------------|----------------|-----------------|-----------------|----------------|--|
| Abmessungen | | | Anreißmaße nach DIN 997 | | | | Kurzbezeichnung/Benennungen | | | | | | | | | |
| | | | | | | | T-Profil EN 10055 – T40 – Stahl EN 10025 – S235JR b Fußbreite alle anderen Benennungen wie bei I-Trägern $r_1 = s$ $r_2 = s/2$ Steg-, Fußneigung 2% | | | | | | | | | |
| Kurzz. | b | h | s=t | w ₁ | w ₂ | d | S | m' | e _x | I _x | W _x | i _x | I _y | W _y | i _y | |
| T | mm | mm | mm | mm | mm | mm | cm ² | kg/m | cm | cm ⁴ | cm ³ | cm | cm ⁴ | cm ³ | cm | |
| 30 | 30 | 30 | 4 | 17 | 17 | 4,3 | 2,26 | 1,77 | 0,85 | 1,72 | 0,80 | 0,87 | 0,87 | 0,58 | 0,62 | |
| 35 | 35 | 35 | 4,5 | 19 | 19 | 4,3 | 2,97 | 2,33 | 0,99 | 3,10 | 1,23 | 1,04 | 1,57 | 0,90 | 0,73 | |
| 40 | 40 | 40 | 5 | 21 | 22 | 6,4 | 3,77 | 2,96 | 1,12 | 5,28 | 1,84 | 1,18 | 2,58 | 1,29 | 0,83 | |
| 50 | 50 | 50 | 6 | 30 | 30 | 6,4 | 5,66 | 4,44 | 1,39 | 12,1 | 3,36 | 1,46 | 6,06 | 2,42 | 1,03 | |
| 60 | 60 | 60 | 7 | 34 | 35 | 8,4 | 7,94 | 6,23 | 1,66 | 23,8 | 5,48 | 1,73 | 12,2 | 4,07 | 1,24 | |
| 70 | 70 | 70 | 8 | 38 | 40 | 11 | 10,6 | 8,32 | 1,94 | 44,5 | 8,79 | 2,05 | 22,1 | 6,32 | 1,44 | |
| 80 | 80 | 80 | 9 | 45 | 45 | 11 | 13,6 | 10,7 | 2,22 | 73,7 | 12,8 | 2,33 | 37,0 | 9,25 | 1,65 | |
| 100 | 100 | 100 | 11 | 60 | 60 | 13 | 20,9 | 16,4 | 2,74 | 179 | 24,6 | 2,92 | 88,3 | 17,7 | 2,05 | |
| 120 | 120 | 120 | 13 | 70 | 70 | 17 | 29,6 | 23,2 | 3,28 | 366 | 42,0 | 3,51 | 178 | 29,7 | 2,45 | |
| 140 | 140 | 140 | 15 | 80 | 75 | 21 | 39,9 | 31,3 | 3,80 | 660 | 64,7 | 4,07 | 330 | 47,2 | 2,88 | |